



ANÁLISE DE FREQUÊNCIA DE VAZÕES MÁXIMAS E A DEFINIÇÃO DAS COTAS PARA INSTALAÇÃO DE EQUIPAMENTOS AUTOMÁTICOS NA REDE HIDROMETEOROLÓGICA NACIONAL DE REFERÊNCIA (RHNR)

Rio: Araguaia

Estação Fluviométrica: Aruanã

Código: 25200000 Município: Aruanã - GO

> Goiânia 2025

MINISTÉRIO DE MINAS E ENERGIA SECRETARIA DE GEOLOGIA, MINERAÇÃO E TRANSFORMAÇÃO MINERAL SERVIÇO GEOLÓGICO DO BRASIL

DIRETORIA DE HIDROLOGIA E GESTÃO TERRITORIAL

PROGRAMA GESTÃO DE RISCOS E DE DESASTRES

Ação Levantamentos, Estudos, Previsão e

Alerta de Eventos Hidrológicos Críticos

PROJETO DE REGIONALIZAÇÃO DE VAZÕES NAS BACIAS HIDROGRÁFICAS BRASILEIRAS

ANÁLISE DE FREQUÊNCIA DE VAZÕES MÁXIMAS E A DEFINIÇÃO

DAS COTAS PARA INSTALAÇÃO DE EQUIPAMENTOS

AUTOMÁTICOS NA REDE HIDROMETEOROLÓGICA NACIONAL DE

REFERÊNCIA (RHNR)

Rio: Araguaia

Estação Fluviométrica: Aruanã

Código: 25200000

Município: Aruanã-GO

Denise Christina de Rezende Melo Eber José de Andrade Pinto



Goiânia

2025

MINISTÉRIO DE MINAS E ENERGIA

MINISTRO DE ESTADO

Alexandre Silveira de Oliveira

SECRETARIA NACIONAL DE GEOLOGIA, MINERAÇÃO E TRANSFORMAÇÃO MINERAL

Ana Paula Lima Vieira Bittencourt

SERVIÇO GEOLÓGICO DO BRASIL - SGB

DIRETORIA EXECUTIVA

Diretor Presidente

Francisco Valdir Silveira (interino)

Diretor de Hidrologia e Gestão Territorial

Alice Silva de Castilho

Diretor de Geologia e Recursos Minerais

Francisco Valdir Silveira

Diretor de Infraestrutura Geocientífica

Alice Silva de Castilho (Substituta)

Diretor de Administração e Finanças

Alice Silva de Castilho (Substituta)

COORDENAÇÃO TÉCNICA

Chefe do Departamento de Hidrologia

Andrea de Oliveira Germano

Chefe da Divisão de Hidrologia Aplicada

Emanuel Duarte Silva

Achiles Monteiro (in memoriam)

Chefe do Departamento de Gestão Territorial

Diogo Rodrigues Andrade da Silva

Chefe da Divisão de Geologia Aplicada

Tiago Antonelli

Coordenação Executiva do DEHID - Projeto Regionalização de Vazões

Eber José de Andrade Pinto

SUPERINTENDÊNCIA REGIONAL DE GOIÂNIA

Superintendente

Marcelo Henrique da Silva Rosa (Interino)

Gerente de Hidrologia e Gestão Territorial

Vivian Athaydes Canello Fernandes

Gerente de Geologia e Recursos Minerais

Jônatas de Sales Macedo Carneiro

Gerente de Infraestrutura Geocientífica

Wilian Ribeiro de Padua

Gerente de Administração e Finanças

Alessandra Patricia Diniz

REALIZAÇÃO

Superintendência de Goiânia

AUTORES

Denise Christina de Rezende Melo Eber José de Andrade Pinto

EQUIPE EXECUTORA

Denise Christina de Rezende Melo – SUREG/GO Francisco Fernando Noronha Marcuzzo – SUREG/PA Múcio Valença Virães – SUREG/RE Paula Kristhina Cordeiro Freire – REFO

SISTEMA DE INFORMAÇÕES GEOGRÁFICAS E MAPA

Cristiane de Lima Pereira - SUREG/GO

NORMALIZAÇÃO BIBLIOGRÁFICA

Maria Gasparina de Lima - SUREG/GO

Ficha Catalográfica Dados Internacionais de Catalogação-na-Publicação (CIP)

M528p Melo, Denise Christina de Rezende.

Projeto de regionalização de vazões nas bacias hidrográficas brasileiras: análise de frequência de vazões máximas e a definição das cotas para instalação de equipamentos automáticos na Rede Hidrometeorológica Nacional de Referência (RHNR): rio: Araguaia, estação fluviométrica: Aruanã, código: 25200000, município: Aruanã-GO / Denise Christina de Rezende Melo, Eber José de Andrade Pinto. – Goiânia: Serviço Geológico do Brasil, 2025.

1 recurso eletrônico: PDF

Programa Gestão de Riscos e de Desastres.

Ação levantamentos, estudos, previsão e alerta de eventos hidrológicos críticos.

ISBN 978-65-5664-651-0

1. Hidrologia. 2. Vazões naturais. 3. Bacias hidrográficas. I. Pinto, Eber José de Andrade Pinto. II. Título.

CDD 551.48

Ficha catalográfica elaborada pela bibliotecária Maria Gasparina de Lima CRB-1 / 1243

Direitos desta edição: Serviço Geológico do Brasil – SGB Permitida a reprodução desta publicação desde que mencionada a fonte

Serviço Geológico do Brasil - SGB www.sgb.gov.br https://rigeo.sgb.gov.br seus@sqb.gov.br

APRESENTAÇÃO

O projeto Regionalização de Vazões nas Bacias Hidrográficas Brasileiras é uma iniciativa dentro do programa de Gestão de Riscos e Resposta a Desastres que tem por objetivo ampliar o conhecimento sobre a disponibilidade hídrica no território nacional, bem como, sobre a frequência de ocorrência das vazões e/ou das cotas.

O conhecimento da disponibilidade de água doce de uma bacia hidrográfica é o principal instrumento de gestão de recursos hídricos, com base no qual pode ser concedido de forma adequada e sustentável o direito de uso deste bem, seja para fins energéticos, de irrigação, de abastecimento e outros. Além disso, o conhecimento da frequência é uma informação útil para o planejamento nos setores elétrico, agrícola, abastecimento público e na adoção de políticas públicas.

Dentre os objetivos da ação dos Levantamentos, Estudos, Previsão e Alerta de Eventos Hidrológicos Críticos, destaca-se a realização de estudos de análise de frequência local das séries históricas de vazões máximas ou cotas máximas das estações fluviométricas.

A análise de frequência possibilita a determinação das vazões máximas ou cotas máximas associadas a uma probabilidade de ser igualda ou superada. Os resultados da análise, ou seja, os quantis, serão utilizados como valores de projeto no dimensionamento de diversas estruturas hidráulicas ou de aproveitamento dos recursos hídricos. Esta análise estatística também pode ser utilizada de forma inversa, ou seja, estimar a frequência de um evento de cheia ocorrido, definindo se o evento foi raro ou ordinário. Tipo de informação que é bastante útil para sistemas de alerta de cheias que poderão divulgar, além das previsões e dos valores observados, a raridade do evento acompanhado.

Este estudo apresenta os resultados da análise de frequência das vazões máximas observadas e a recomendação de cotas (níveis) para instalação de equipamentos automáticos no rio Araguaia, especificamente na estação fluviométrica Aruanã, código 25200000, pertencente à sub-bacia 25, no alto Araguaia. Esta estação fluviométrica faz parte Rede Hidrometeorológica Nacional de Referência (RHNR) e constitui um ponto de acompanhamento das vazões e cotas nesta região, no Estado de Goiás.

SUMÁRIO

1 – INTRODUÇAO	6
2 – METODOLOGIA	11
2.1 – Análise de Frequência Local	11
2.2 – Definição das Cotas para Instalação de Equipamentos Automáticos na Rede Hidrometeorológica Nacional de Referência	13
3 – RESULTADOS	17
3.1 – Análise de Frequência Local	17
3.2 – Definição das Cotas para Instalação de Equipamentos Automáticos na Rede Hidrometeorológica Nacional de Referência	18
4 – EXEMPLOS DE APLICAÇÃO	20
REFERÊNCIAS	22
ANEXO I - Ficha Descritiva da Estação Fluviométrica Aruanã Código 25200000	24
ANEXO II - Distribuições de Gumbel e Log-Normal	27
ANEXO III - Série de Dados Utilizados – Cotas e Vazões máximas por ano hidroló Curva-Chave e Estatísticas da série	
LISTA DE FIGURAS	
Figura 1 – Localização das estações fluviométricas da RHNR sob a responsabilida	de
da Superintendência Regional de Goiânia. Fonte: equipe do projeto	7
Figura 2 - Localização da seção de réguas da estação fluviométrica de Aruanã	
Figura 3 - Localização da estação fluviométrica de Aruanã	9
Figura 4 - Perfil transversal da seção de réguas da estação Aruanã	10
Figura 5 - Ajuste das distribuições empírica e teórica	17
Figura 6 - Cota mínima de instalação de equipamentos na seção de réguas da est	ação
Aruanã	19
LISTA DE TABELAS	
Tabela 1 - Objetivos Gerais da RHNR	13
Tabela 2 - Riscos Hidrológicos	15
Tabela 3 - Probabilidade de não ocorrer ao menos um evento igual ou superior a o	heia
de T anos em n anos de vida útil	15
Tabela 4 - Critérios para instalação dos equipamentos da RHNR	16
Tabela 5 - Vazões associadas a diferentes tempos de retorno	18
Tabela 6 - Cotas para instalação dos equipamentos da estação Aruanã	

1 – INTRODUÇÃO

O estudo das águas superficiais é fundamental para adequada gestão dos recursos hídricos. Para que isto ocorra se faz necessário a implantação de uma rede de monitoramento hidrológico que seja eficiente e capaz de fornecer informações necessárias aos usos múltiplos das águas fluviais.

Conforme Maranhão e Pereira (2017), as primeiras iniciativas institucionais do estabelecimento da Rede Hidrometeorológica Nacional – RHN, início do século XX, ocorrem através do Departamento Nacional de Obras Contra as Secas (DNOCS) e do Instituto Nacional de Meteorologia (INMET) instalando as primeiras estações no Brasil. Em 1934 o Departamento Nacional de Produção Mineral (DNPM) estende a atuação hidrológica pelo pais. Em 1960 é criado o Departamento Nacional de Águas e Energia (DNAE) que recebe, entre suas atribuições, as atividades de hidrologia nacional. Porém em 1969, com novas competências relacionadas ao setor elétrico, passa a se chamar Departamento Nacional de Águas e Energia Elétrica (DNAEE). Também neste ano surge a Companhia de Pesquisa de Recursos Minerais (CPRM), através do Decreto-Lei nº 764, de 15 de agosto de 1969, absorvendo a atividade de manutenção e operação da RHN sob responsabilidade do DNAEE. Em 28 de dezembro de 1994, pela Lei nº 8.970, a CPRM passa a ser uma empresa pública, com funções de Serviço Geológico do Brasil (SGB).

Assim nasce a parceria entre a Agência Nacional de Águas (ANA), criada através da Lei nº 9.984/2000, art.4, inciso 13, e o Serviço Geológico do Brasil (SGB/CPRM), principal parceiro no planejamento, gerenciamento e operação da RHN – Rede Hidrometeorológica Nacional, através do Acordo de Cooperação Técnica – ACT nº 003/2014, com o intuito de revitalizar a capacitação técnica dos profissionais envolvidos e revisar a rede de monitoramento existente no Brasil.

Em agosto de 2015, ANA e SGB/CPRM firmaram um Memorando de Entendimento com o Serviço Geológico dos Estados Unidos (USGS, *United States Geological Survey*) dedicado à capacitação técnica dos seus profissionais. E a partir deste evento, foi definido pelos especialistas envolvidos a revisão da rede existente, construindo uma Rede Hidrometeorológica Nacional de Referência – RHNR para atender com excelência as demandas da gestão de recursos hídricos brasileira, promovendo dados confiáveis e representativos. Esta rede deverá atender os interesses da União a partir de 6 objetivos gerais: Transferência e compartilhamento Interestaduais e Internacionais, eventos hidrológicos críticos, balanços e disponibilidades hídricas, mudanças e tendências de longo prazo, qualidade da água e regulação dos recursos hídricos

A Figura 1 mostra a área do projeto da RHNR em 2025, com a localização das 42 estações fluviométricas sob a responsabilidade da Superintendência Regional de Goiânia (SUREG-GO), onde pode-se ver em destaque a bacia do rio Araguaia.

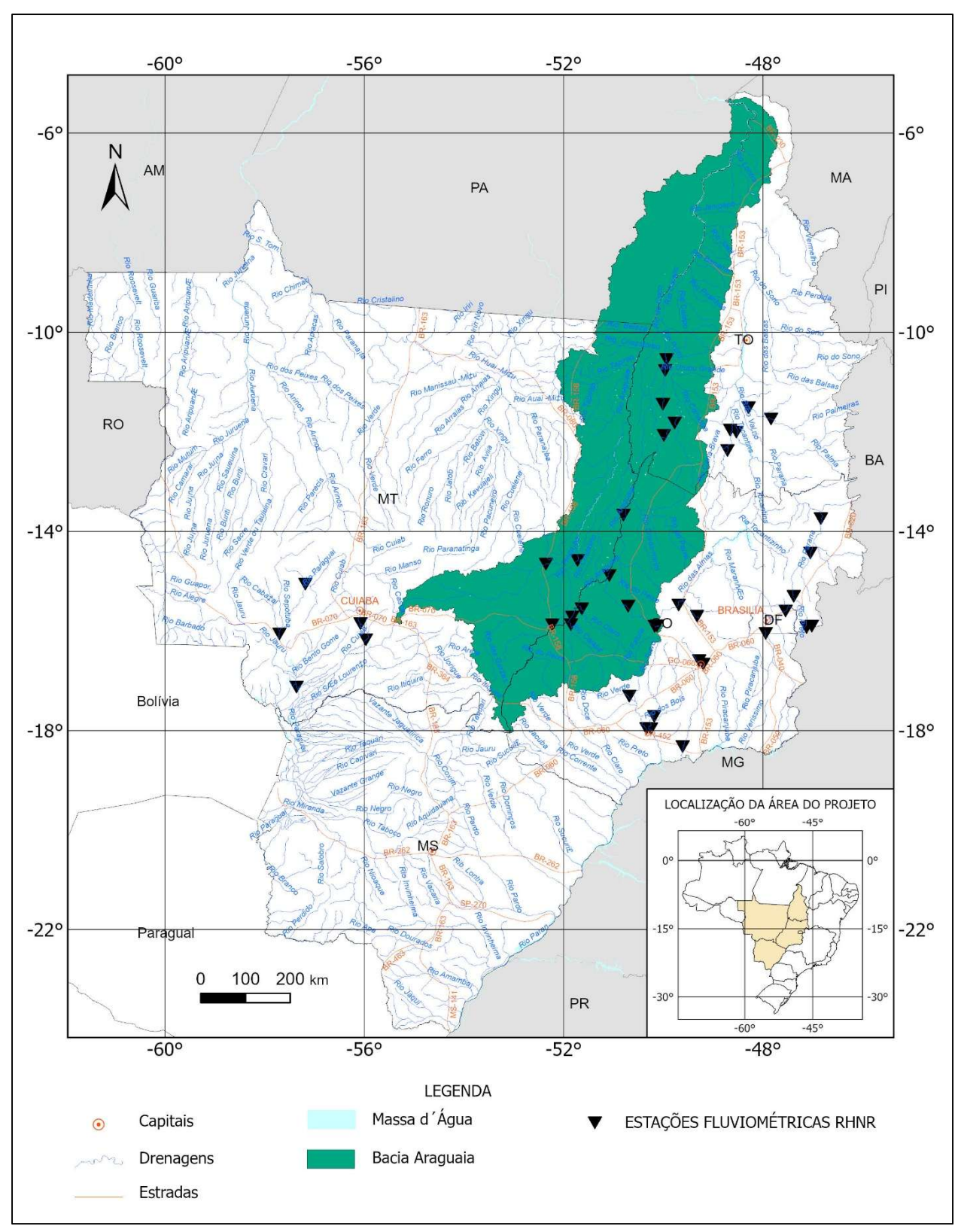


Figura 1 – Localização das estações fluviométricas da RHNR sob a responsabilidade da Superintendência Regional de Goiânia. Fonte: equipe do projeto.

.

A estação fluviométrica de Aruanã, código 25200000, está localizada na Latitude 14°54'46"S e Longitude 51°04'53"O, instalada na margem direita do rio Araguaia, a jusante da barra do rio Vermelho, no município de Aruanã, estado de Goiás, com uma área de drenagem de 76.300 km². Desde outubro de 1969 existem réguas linimétricas instaladas para realização de duas leituras diárias dos níveis do rio (7h e 17h) e são realizadas medições de descarga liquida, sendo a seção de medição localizada próximo a seção de réguas. E desde outubro de 2013, estão instalados equipamentos automáticos para registro contínuo e transmissão dos níveis do rio Araguaia. Ao longo do histórico da estação não houve mudança da cota do zero da régua. A Figura 2 mostra a localização da seção de réguas.

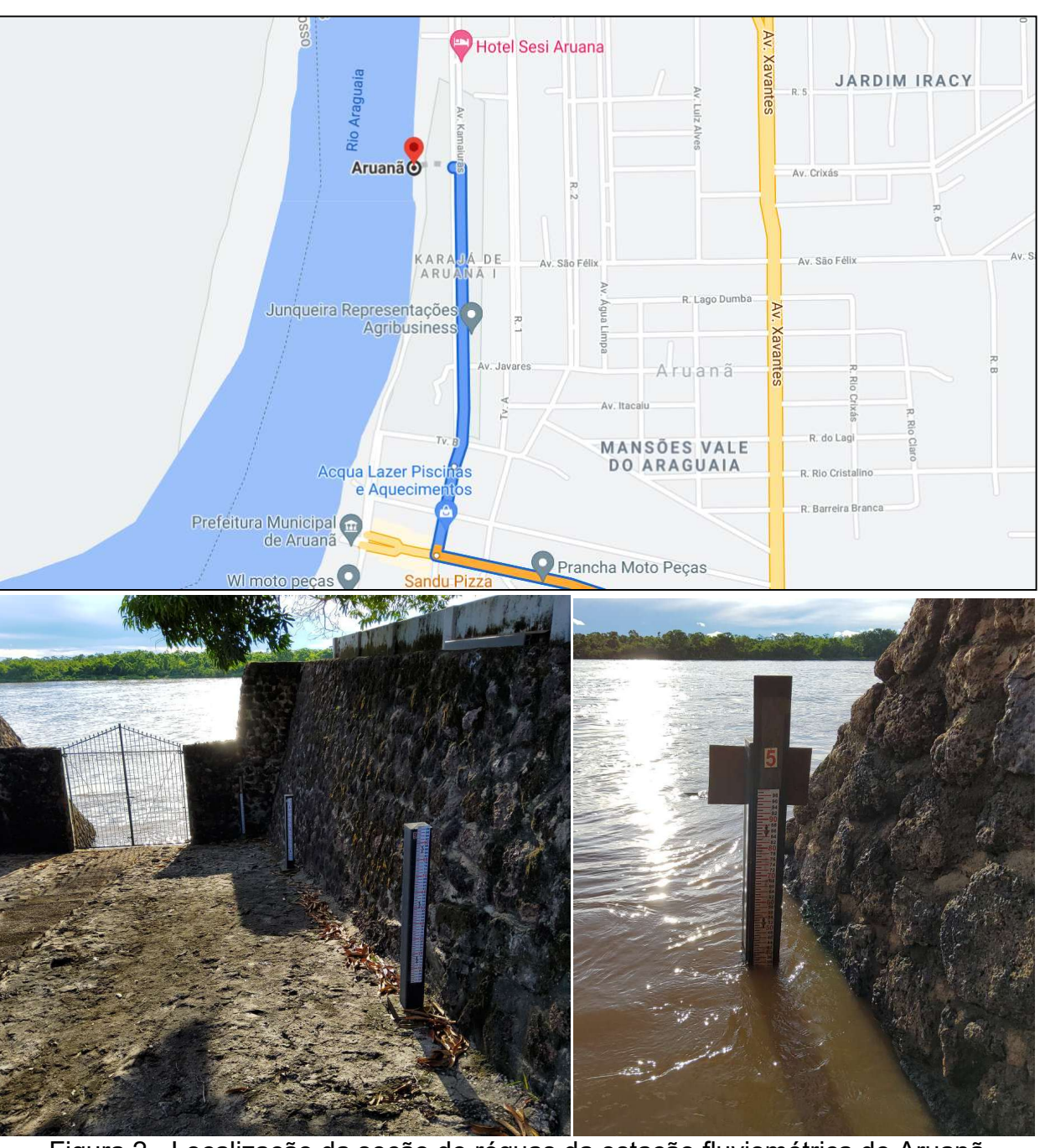


Figura 2 - Localização da seção de réguas da estação fluviométrica de Aruanã. Fonte: arquivo fotográfico do Projeto da RHN e ficha descritiva da estação.

A bacia hidrográfica do rio Araguaia está localizada na Região Hidrográfica do Tocantins. Sua nascente localiza-se na Serra do Caiapó, paralelo 18º. Após percorrer 720 km, divide-se em dois braços formando a ilha do Bananal, com uma extensão de 375 km. Desemboca na margem esquerda do rio Tocantins, com uma área de drenagem de 365.000 km² e um percurso de 1.755 km. Seus principais afluentes são: Rio Caiapó, Rio das Garças, Rio Claro, Rio Vermelho, Rio das Almas e Rio das Mortes.

A Figura 3 ilustra a localização da estação de Aruanã, na sub-bacia 25, trecho do alto rio Araguaia. Maiores detalhes sobre a estação podem ser encontrados na sua ficha descritiva, no Anexo 1.

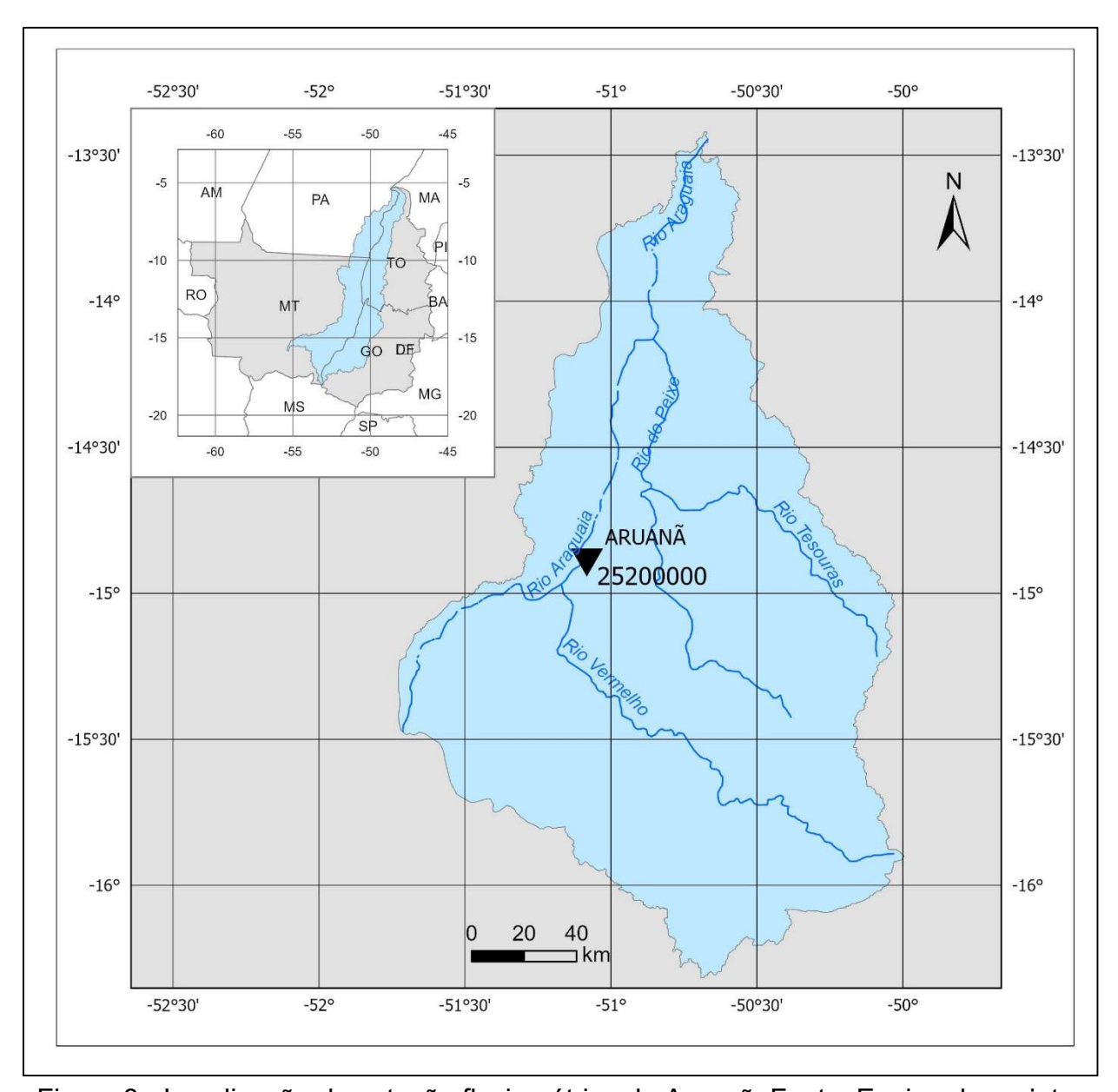


Figura 3 - Localização da estação fluviométrica de Aruanã. Fonte: Equipe do projeto.

A Figura 4 apresenta o perfil transversal na seção de réguas da estação, levantado em 2024, com as medições simultâneas de vazões e cotas realizadas entre maio de 1970 e março de 2025. A máxima cota observada nas réguas, com valor de 1119 cm, ocorreu em 13/01/1993 e a cota máxima medida, com valor de 671 cm, ocorreu em 10/02/1982. A diferença entre a máxima cota observada e a máxima cota medida é de 448 cm.

A série de cotas máximas por ano hidrológico, apresentada no Anexo III, apresenta 30 valores superiores a 671 cm, cota da vazão máxima medida. A razão entre a cota máxima observada e a cota máxima com medição de vazão é 1,67 (1119 cm / 671 cm), sendo uma extrapolação de 448 cm. Essa extrapolação está acima do valor ideal, pois segundo Tucci (2002), a melhor curva-chave, com menor extrapolação do tramo superior, possui a razão entre as cotas máximas observadas e com medição de vazão inferior a 1,25. Necessitando da realização de mais medições acima da cota máxima medida 671 cm.

As características mencionadas no parágrafo anterior criam dificuldades para a extrapolação do tramo superior da curva-chave e ampliam a incerteza na estimativa das vazões a partir das cotas superiores a tal máxima medida de 671 cm. Todavia, é necessário mencionar que as medições de vazões em cotas altas envolvem riscos à segurança dos técnicos que podem inviabilizar a realização do trabalho e, além disso, a frequência de ocorrência de grandes cheias pode ser baixa.

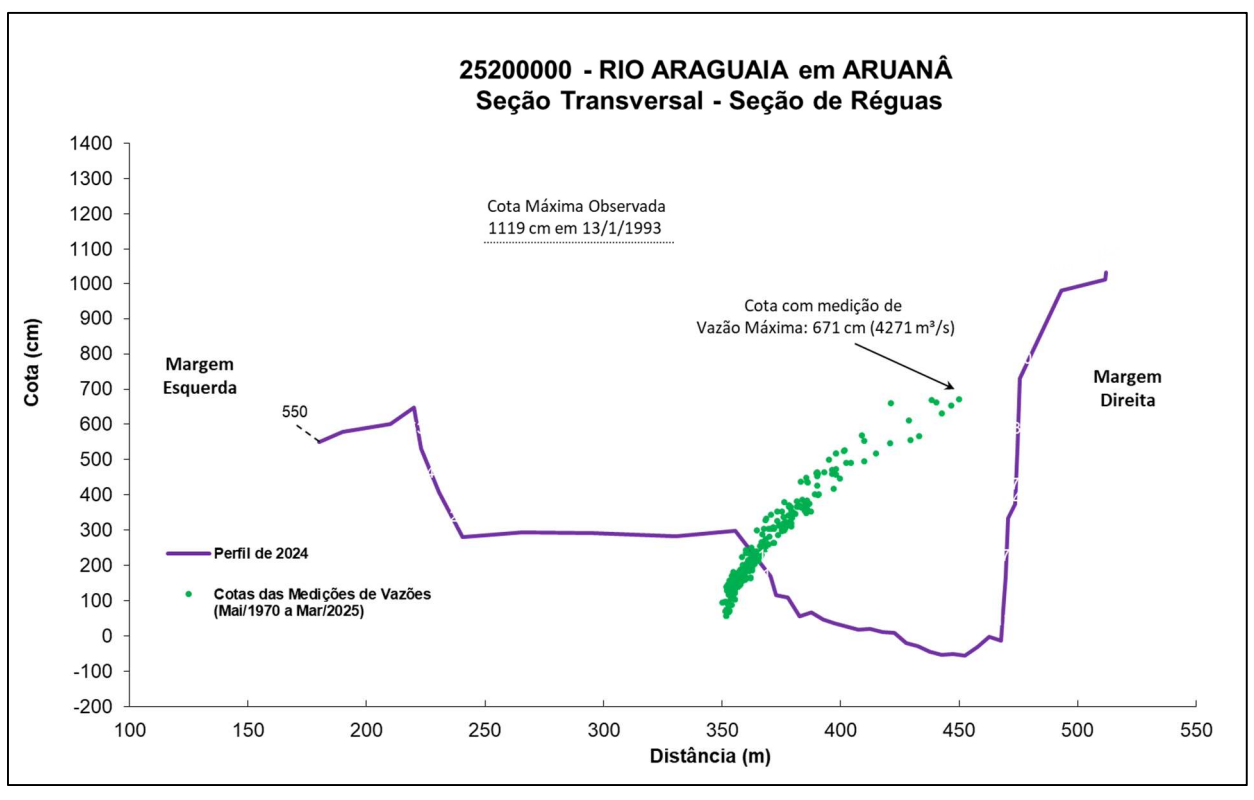


Figura 4 - Perfil transversal da seção de réguas da estação Aruanã. Fonte: elaborado pelos autores.

2 - METODOLOGIA

2.1 – Análise de Frequência Local

A análise estatística deve ser realizada utilizando séries históricas representativas do processo analisado, sem a presença de erros acidentais ou sistemáticos e possuindo um número mínimo de elementos para garantir uma boa confiabilidade nas extrapolações. É recomendável o emprego de séries com pelo menos 30 anos hidrológicos ou civil e aceitável no mínimo 15 anos hidrológicos ou civil.

Considerando Pinto (2013) e Naghettini e Pinto (2007), foram definidas as seguintes etapas para análise de frequência local de máximos por ano hidrológico ou civil:

• Avaliar a consistência dos dados e organizar a série de cotas ou vazões máximas por ano hidrológico ou civil:

Na etapa de consistência procura-se identificar problemas com os registros de cotas ou vazões que poderiam desacreditar as informações. Para tanto podem ser realizados métodos consagrados no meio técnico, como por exemplo, verificar se há mudança do zero da régua (mudança de referência); verificar a presença de erro de metro nas cotas; verificar a presença de erro de 1/2 metro nas cotas; verificar a presença de erro de digitação; comparar a cota máxima com a cota média diária; avaliar o comportamento dos cotagramas das estações de montante e jusante; verificar as cotas máximas da série disponível nos bancos de dados com os boletins de campo; avaliar os dados que estão como duvidosos ou estimados; avaliar o preenchimento de falhas (média, linígrafo e PCD); verificar as medições de vazões; analisar as curvaschaves; verificar a continuidades das vazões etc.

• Verificar a presença de valores atípicos (outliers):

A presença de valores atípicos (superiores e inferiores) é avaliada com o critério baseado na amplitude interquartil, AIQ (Naghettini; Pinto, 2007, p. 39), e com o teste de Grubbs e Beck (Naghettini; Pinto, 2007, p. 287). O valor atípico pode ter origem em erros de medição ou de processamento, mas, também pode ser o produto de causas naturais indeterminadas. Se for identificado que o valor atípico é inconsistente, este deve ser excluído da amostra. Em caso de presença de *outliers* realmente observados deve-se avaliar a manutenção ou retirada destes pontos amostrais atípicos. Pois, a presença de pontos atípicos em uma dada amostra, pode afetar drasticamente o ajuste da distribuição de probabilidades.

• Avaliar a independência, a homogeneidade e a estacionariedade das séries:

A independência dos valores de uma série significa que nenhuma observação pode influenciar a ocorrência, ou não ocorrência, da observação seguinte. No projeto de Regionalização de Vazões do Brasil a hipótese de independência é avaliada com o teste não paramétrico proposto por Wald e Wolfowitz (1943). A descrição detalhada deste teste é encontrada em Naghettini e Pinto (2007, p. 264).

Uma amostra é considerada homogênea quando todos os elementos provêm de uma única e idêntica população. A recomendação é avaliar a homogeneidade da série por meio do teste não-paramétrico proposto por Mann e Whitney (1947), o qual está descrito em detalhes em Naghettini e Pinto (2007, p. 265).

A estacionariedade de uma série, de um ponto de vista intuitivo, está associada a não alteração das características estatísticas ao longo do tempo, o que significa a não existência de tendências, saltos e outras propriedades. Nos trabalhos da Regionalização a verificação da estacionariedade das séries é efetuada pelo teste não-paramétrico de Spearman, o qual encontra-se descrito em Naghettini e Pinto (2007, p. 267).

Estimar a distribuição empírica.

A estimativa da distribuição empírica é realizada com ordenação decrescente da série e o cálculo da posição de plotagem pela fórmula de Weibull, ou seja, no caso de séries de máximos por ano hidrológico ou civil temos P(P>p)=m/(N+1), onde m é número de ordem e N o tamanho de amostra.

• Definir as distribuições teóricas de probabilidades candidatas a modelagem das vazões ou cotas máximas por ano hidrológico ou civil.

A definição da distribuição teórica de probabilidade é de suma importância, pois valores calculados para um mesmo período de retorno podem apresentar grandes variações quando estimados por diferentes distribuições. Nos estudos de análise de frequência local de máximos por ano hidrológico ou civil do projeto de Regionalização são adotadas as distribuições candidatas de 02 parâmetros conforme recomendação de Hosking e Wallis (1997). As distribuições candidatas são as distribuições de Gumbel e Log-Normal.

• Calcular os parâmetros das distribuições teóricas de probabilidades candidatas.

A estimativa dos parâmetros das distribuições candidatas é efetuada pelo método dos momentos-L (Hosking; Wallis, 1997). O Anexo II apresenta as funções densidade e acumulada de probabilidades das distribuições candidatas e as equações para cálculo dos parâmetros.

• Definir a distribuição teórica que será adotada na modelagem das séries a partir da verificação da aderência à distribuição empírica.

A aderência da distribuição teórica candidata à curva da distribuição empírica é verificada pelo teste de Kolmogorov-Smirnov. A descrição detalhada destes testes é encontrada em Naghettini e Pinto (2007, p. 275-278).

• Estimar os quantis associados a diferentes tempos de retorno.

Após a conclusão das etapas anteriores, calcular os quantis associados a diferentes tempos de retorno de interesse.

2.2 – Definição das Cotas para Instalação de Equipamentos Automáticos na Rede Hidrometeorológica Nacional de Referência

Segundo o relatório Maranhão e Pereira (2017), a implantação da Rede Hidrometeorológica Nacional de Referência (RHNR) buscará atender os interesses da União agrupados em 6 (seis) objetivos gerais. A Tabela 1 apresenta estes objetivos.

Tabela 1 - Objetivos Gerais da RHNR

N°	Objetivos Gerais
1	Transferências e Compartilhamentos Interestaduais e Internacionais
2	Eventos Hidrológicos Críticos
3	Balanços e disponibilidades hídricas
4	Mudanças e tendências de longo prazo
5	Qualidade da água
6	Regulação dos Recursos Hídricos

Fonte: elaborado pelos autores.

A locação e instalação de uma estação fluviométrica que comporá uma rede deverá atender vários critérios como os descritos em Maranhão e Pereira (2017), World Meteorological Organization (2010), Sauer e Turnipseed (2010), ANA e SGB (2021), Kenney (2010) e Rantz *et al.* (1982). Em relação a instalação de equipamentos automáticos na Rede Hidrometeorológica Nacional de Referência (RHNR) o relatório de Maranhão e Pereira (2017), apresenta os seguintes critérios em relação ao posicionamento dos equipamentos:

Página 27 do arquivo PDF

"...A cota máxima é importante para a posição ideal da PCD, das referências de níveis - RNs e das quantidades de lances de réguas a serem instaladas na futura estação. ..."

Página 33 do arquivo PDF

"...73. Sobre o abrigo da PCD.

Deve estar localizada acima do nível de cheia; ..."

Além de Maranhão e Pereira (2017), destacam-se World Meteorological Organization (2010) e Sauer e Turnipseed (2010) como referências que tratam sobre este tema de locação de estação fluviométrica e posicionamento de equipamentos.

World Meteorological Organization (2010) sugere os seguintes critérios para posicionamento de equipamentos em uma estação fluviométrica: "...

• Os instrumentos, abrigo e outra edificação devem estar acima de todos os níveis de inundação registrados. Sensores de nível devem permitir tanto a medição de inundações como de secas. ..."

Em relação aos níveis altos da água (cotas altas), World Meteorological Organization (2010), além do item acima, também afirma que "...devem ser pesquisadas as marcas de cheia de grandes enchentes do passado, bem como indagado aos moradores locais sobre os níveis de enchentes históricas. Essas informações deverão ser utilizadas pelo engenheiro para tomar uma decisão sobre a

elevação na qual o registrador de níveis (cotas) deve ser instalado para ficar acima de quaisquer enchentes que provavelmente ocorrerão no futuro. O abrigo do registrador deve ser instalado de forma a ser protegido de detritos transportados durante grandes enchentes. Também devem ser pesquisadas evidências sobre grandes mudanças no curso d'água, incluindo erosão e deposição nas margens que ocorreram durante enchentes notáveis do passado. Essas evidências, se encontradas, dão alguma indicação de mudanças que podem ser esperadas na ocorrência de grandes enchentes do futuro..." (Tradução livre).

Sauer e Turnipseed (2010) sugerem vários critérios para a escolha do local de instalação uma nova estação fluviométrica que fará parte da *USGS National Streamflow Information System (NSIP)*. Em relação ao posicionamento de equipamentos faz as seguintes menções: "...

- O poço tranquilizador, por exemplo o tubulão do linígrafo (se usado), e o abrigo do instrumento registrador dos níveis dá água (cotas) podem estar localizados em uma margem do curso d'água, ponte, represa ou outra estrutura adequada, desde que os outros critérios de seleção do local sejam atendidos. Não instale a estrutura que abrigará os equipamentos registradores de nível (cota) onde ela possa sofrer danos durante enchentes.
- <u>O abrigo de instrumentos deve ser instalado em uma cota alta o suficiente para estar acima do nível de inundação de 0,5% de excedência (200 anos), se possível.</u> ..."

Analisando as recomendações de World Meteorological Organization (2010), Sauer e Turnipseed (2010) e Maranhão e Pereira (2017) fica clara a preocupação com o posicionamento dos equipamentos de forma a garantir a medição dos níveis (cotas) dos grandes eventos de cheias. Sauer e Turnipseed (2010) se diferenciam de World Meteorological Organization (2010) e Maranhão e Pereira (2017) ao definir que os equipamentos devem ser instalados, se possível, em uma cota alta o suficiente para estar acima do nível de inundação de 0,5% de excedência (200 anos), ou seja, um critério objetivo.

Ao se adotar um tempo de retorno, T, como referência na definição do nível mínimo para instalação dos equipamentos também se assume uma probabilidade de que pelo menos um evento igual ou superior a cheia de T anos possa ocorrer em n anos de vida útil. Essa probabilidade é o risco hidrológico, $R = 1 - [1-(1/T)]^n$. No caso de uma estação fluviométrica, a vida útil é o número de anos de operação.

A Tabela 2 apresenta os riscos hidrológicos associados aos tempos de retorno de 100, 200 e 250 anos para diferentes vidas uteis.

Tabela 2 - Riscos Hidrológicos

Т		"Vida Útil ", <u>n</u> anos de operação da estação fluviométrica										
(anos)	20	30	50	69	100	138	173	200	250			
100	18,2%	26,0%	39,5%	50,0%	63,4%	75,0%	82,4%	86,6%	91,9%			
200	9,5%	14,0%	22,2%	29,2%	39,4%	49,9%	58,0%	63,3%	71,4%			
250	7,7%	11,3%	18,2%	24,2%	33,0%	42,5%	50,0%	55,1%	63,3%			

Fonte: elaborado pelos autores.

Quando o risco hidrológico supera 50%, a probabilidade de ocorrer pelo menos um evento igual ou superior a cheia de T anos em *n* anos de vida útil é maior que a probabilidade de não ocorrer pelo menos uma vez tal evento. Observa-se na Tabela 2, que o risco hidrológico para eventos de 100 anos de tempo de retorno passa a ser superior a 50% quando a vida útil é maior que 69 anos. No caso de eventos de 200 anos de tempo de retorno, o risco hidrológico será maior que 50% quando a vida útil superar 138 anos e, 173 anos no caso de tempo de retorno de 250 anos.

De forma inversa, a Tabela 3 apresenta as probabilidades de não ocorrer ao menos um evento igual ou superior a cheia de T anos em *n* anos de vida útil.

Tabela 3 - Probabilidade de não ocorrer ao menos um evento igual ou superior a cheia de T anos em n anos de vida útil.

Т		"Vida Útil ", <u>n</u> anos de operação da estação fluviométrica											
(anos)	20	30	50	69	100	138	173	200	250				
100	81,8%	74,0%	60,5%	50,0%	36,6%	25,0%	17,6%	13,4%	8,1%				
200	90,5%	86,0%	77,8%	70,8%	60,6%	50,1%	42,0%	36,7%	28,6%				
250	92,3%	88,7%	81,8%	75,8%	67,0%	57,5%	50,0%	44,9%	36,7%				

Fonte: elaborado pelos autores.

Baseando-se nas recomendações de World Meteorological Organization (2010), Sauer e Turnipseed (2010) e Maranhão e Pereira (2017), considerando os objetivos gerais da RHN, bem como a ocorrência das grandes cheias no Brasil, como por exemplo a enchente de maio de 2024 no Rio Grande do Sul, e com o objetivo de garantir a medição dos níveis (cotas) dos grandes eventos de cheias que podem ocorrer no futuro, sugere-se os critérios apresentados na Tabela 4 para definição da cota mínima para instalação dos equipamentos da Rede Hidrometeorológica Nacional de Referência (RHNR).

Tabela 4 - Critérios para instalação dos equipamentos da RHNR

Objetivos gerais	CRITÉRIO – Considerando o objetivo da estação fluviométrica, instalar os equipamentos de registro de níveis na maior cota entre as opções.
Transferências e Compartilhamentos Interestaduais e Internacionais¹	A cota associada a cheia de 200 anos de tempo de retorno, ou a cota da maior cheia registrada acrescida de 1,0m (um metro)
Eventos Hidrológicos Críticos²	A cota associada a cheia de 250 anos de tempo de retorno, ou a cota da maior cheia registrada acrescida de 1,0m (um metro)
Balanços e disponibilidades	A cota associada a cheia de 100 anos de tempo de retorno, ou
hídricas³	a cota da maior cheia registrada acrescida de 1,0m (um metro)
Mudanças e tendências de	A cota associada a cheia de 200 anos de tempo de retorno, ou
longo prazo¹	a cota da maior cheia registrada acrescida de 1,0m (um metro)
Qualidade da água ¹	A cota associada a cheia de 200 anos de tempo de retorno, ou
Qualiuaue ua agua	a cota da maior cheia registrada acrescida de 1,0m (um metro)
Regulação dos Recursos	A cota associada a cheia de 100 anos de tempo de retorno, ou
Hídricos ³	a cota da maior cheia registrada acrescida de 1,0m (um metro)

¹⁻O registro de grandes cheias é importante para garantir o atendimento dos objetivos, bem como, preservar os equipamentos caros dos efeitos deletérios da passagem de uma enchente. 2-Os eventos críticos de maio de 2024 no Rio Grande do Sul ensinaram a importância de não se perder os equipamentos na passagem de eventos raros.

³⁻O atendimento dos objetivos não será significativamente prejudicado se houver a perda do registro da passagem de eventos de grandes cheias. Fonte: elaborado pelos autores.

3 - RESULTADOS

3.1 – Análise de Frequência Local

A análise de frequência local das vazões do rio Araguaia em Aruanã, código 25200000, foi efetuada utilizando a série de vazões máximas por ano hidrológico (01/Out a 30/Set) apresentadas no Anexo III. A distribuição de frequência selecionada foi a Log-Normal, com os parâmetros calculados pelo método dos momentos-L e também apresentados no Anexo III, sendo selecionada por apresentar menor desvio padrão dos resíduos entre a distribuição empírica e a teórica, e melhor ajuste visual no papel de probabilidades. A Figura 5 apresenta o gráfico com as distribuições empírica e teórica ajustadas.

A inversa da distribuição Log-Normal é a calculada da seguinte forma:

$$x_T = EXP(\mu + \sigma. Z_{(1-1/T)}) \tag{1}$$

Onde:

T é o tempo de retorno (anos)

 x_T é o quantil associado a tempo de retorno, T

 $Z_{(1-1/T)}$ é o valor da variável normal padrão associada a probabilidade (1 – 1/T). Pode ser obtida em tabelas ou empregando métodos numéricos para inverter $\Phi(x)$ apresentada no Anexo II.

 μ é o parâmetro de posição (8,3570) σ é o parâmetro de escala (0,3860)

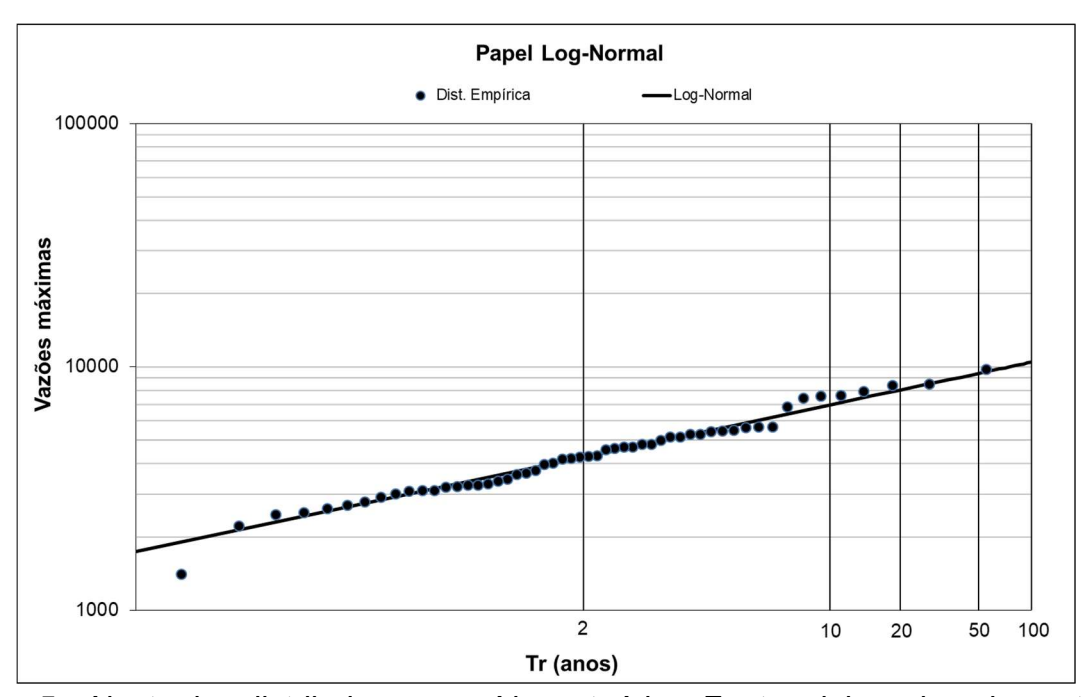


Figura 5 - Ajuste das distribuições empírica e teórica. Fonte: elaborado pelos autores.

A equação 1 permite o cálculo das vazões associadas a diferentes tempos de retorno. A Tabela 5 apresenta as vazões associadas a diferentes tempos de retorno.

Tabela 5 - Vazões associadas a diferentes tempos de retorno

		Tempo de Retorno, T (anos)											
	10	15	20	25	30	50	75	90	100	150	200	250	
Vazões (m³/s)	6986	7604	8038	8373	8646	9412	10021	10296	10456	11072	11513	11856	

Fonte: elaborado pelos autores.

3.2 – Definição das Cotas para Instalação de Equipamentos Automáticos na Rede Hidrometeorológica Nacional de Referência

Após o cálculo das vazões associadas a diferentes tempos de retorno é possível estimar as respectivas cotas invertendo a curva chave da estação fluviométrica.

As vazões da série histórica foram calculadas com a equação da curva-chave de formato potencial como apresentada no Anexo III.

$$Q(h) = a (h - ho)^n$$
(AIII-01)

Onde:

h é a cota a qual se quer calcular a vazão (m);

Q(h) é a vazão calculada para a cota h (m³/s);

a, n e ho são parâmetros de ajustes.

A inversa da equação da curva chave é a seguinte:

$$h = \left(\frac{Q}{a}\right)^{1/n} + ho \tag{2}$$

Os parâmetros das curvas chave de diferentes períodos e amplitudes de cotas encontram-se no Anexo III.

Os critérios para definição das cotas mínimas de instalação dos equipamentos da RHNR, dependendo do objetivo da estação fluviométrica, estão apresentados na Tabela 4. Um critério comum a todos os objetivos das estações fluviométricas é "a cota da maior cheia registrada acrescida de 1,0 m (um metro)".

O critério definido para a estação Aruanã foi conforme o objetivo 2: "Eventos Hidrológicos Críticos", apresentado na Tabela 4, sendo a cota associada a cheia de 250 anos de tempo de retorno. Esta vazão foi calculada como ilustrado no item 4-Exemplos de Aplicação e os valores constam da Tabela 5. O cálculo das cotas associadas a estas vazões é realizado empregando a equação 2 e adotando os parâmetros da curva chave mais recente, apresentados no Anexo III.

A cota máxima observada na estação de Aruanã, foi de 1119 cm, ocorrida em 13/1/1993, sendo calculada a vazão associada a esta cota de 9794 m³/s, utilizando a curva-chave com período de validade de 27/01/1978 a 20/03/1998 e amplitude de cotas de 401 a 1300 cm (Anexo III).

A Tabela 6 resume os critérios de definição da cota mínima para instalação dos equipamentos da estação Ponte Meia Ponte.

Tabela 6 - Cotas para instalação dos equipamentos da estação Aruanã.

CRITÉRIO	Q (m³/s)	Cota (cm)
Cota associada a cheia de 250 anos de tempo de retorno	11856	1247
Cota da maior cheia registrada acrescida de 1,0m (um metro)	11338	1219 cm (1119 cm + 100 cm)

Fonte: elaborado pelos autores.

Portanto, a cota de instalação dos equipamentos deve ser superior a 1247 cm. A Figura 6 ilustra o posicionamento dos equipamentos no perfil transversal da seção de réguas da estação, levantado em 2024, com cota máxima observada de 1119 cm.

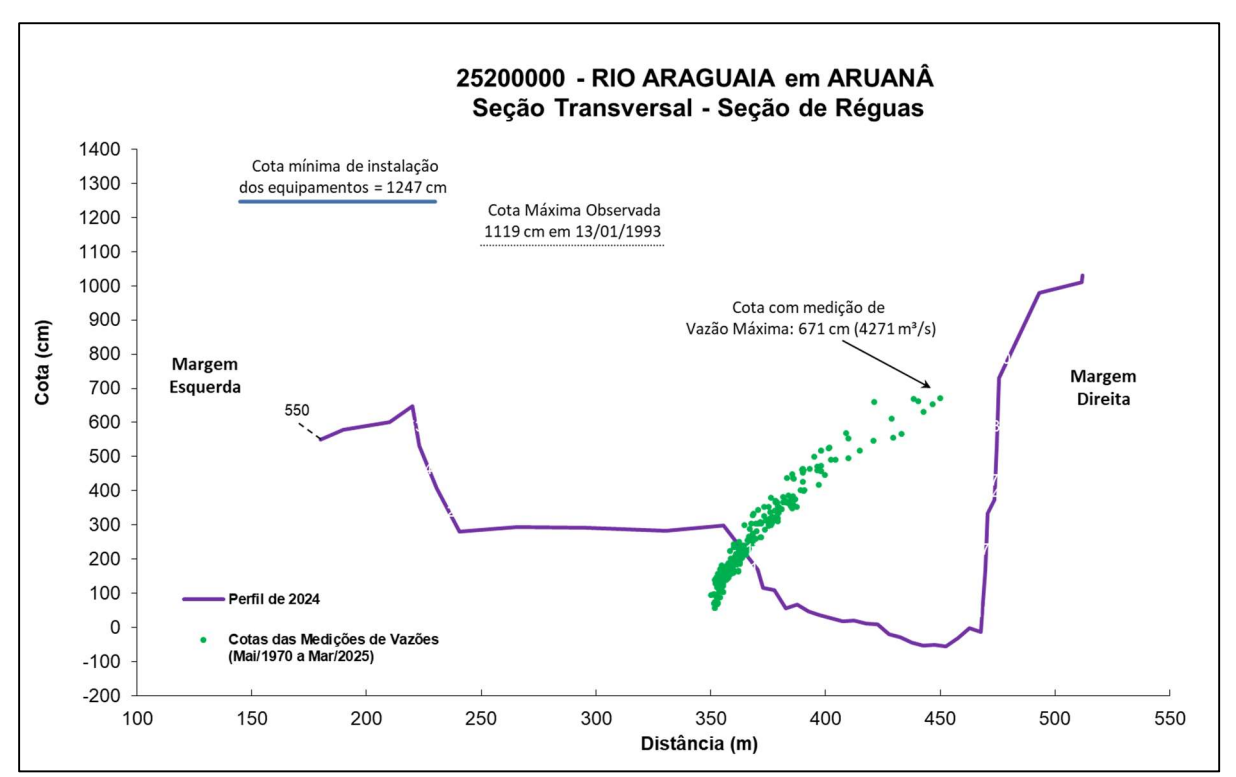


Figura 6 - Cota mínima de instalação de equipamentos na seção de réguas da estação Aruanã. Fonte: elaborado pelos autores.

Assim recomenda-se que os perfis anuais sejam levantados em cotas superiores à tais cotas nas duas margens, pois auxiliará na extrapolação do tramo superior da curva chave, caso ocorra cheias maiores que a cota máxima registrada de 1119 cm, ocorrida em 1993 no rio Araguaia, na estação Aruanã.

4 - EXEMPLOS DE APLICAÇÃO

a) O rio Araguaia em Aruanã, código 25200000, alcançou a cota de 1119 cm durante a cheia em 13/01/1993. Qual é o tempo de retorno da vazão associada a esta cota?

Resp: Inicialmente, será necessário calcular a vazão associada à cota de 1119 cm com a curva-chave válida para a data de 13/01/1993, utilizando a equação AIII-01(Anexo III) com amplitude de cotas de 401 a 1300 cm.

Para a cota 1119 cm os parâmetros são a = 245; ho = 0,39 m e n= 1,55 (Anexo III). Dessa forma temos:

$$Q(h) = a (h - ho)^n$$

$$Q(1119 cm) = 245 (1119/100 - 0.39)^{1.55}$$

$$Q(1119 cm) = 9794.29 m^3/s$$

Para se calcular o respectivo tempo de retorno será necessário estimar a variável Normal Padrão da equação 1. Dessa forma temos:

$$Z_{(1-1/T)} = \frac{(\ln(x_T) - \mu)}{\sigma} \tag{2}$$

A vazão calculada foi de 9794,29 m³/s, o parâmetro de posição é $\mu=8,357$, e o de escala é $\sigma=0,386$. Substituindo os valores na equação 2 temos:

$$Z_{(1-1/T)} = \frac{(ln(x_T) - \mu)}{\sigma} = \frac{(ln(9794,29) - 8,357)}{0.386} = 2,157$$

Levando o valor 2,157 em uma tabela de inversa da distribuição Normal Padrão ou executando a função DIST.NORMP.N do Excel obtém-se: $P(Z \le 2,157) = 0,984$.

O tempo de retorno será:

$$T = \frac{1}{1 - P(Z \le z)} = \frac{1}{1 - 0.984} = 62.5 \ anos$$

O tempo de retorno de 62,5 anos corresponde à probabilidade de 1,60% da vazão 9794,29 m³/s (associada à cota 1119 cm) ser igualada ou superada em um ano qualquer, ou:

$$P(x_T \ge 9794,29 \, m^3/s) = \frac{1}{T}100 = \frac{1}{62.5}100 = 1,60 \,\%$$

b) Qual é o tempo de retorno da vazão máxima medida (associada à maior cota registrada com medição de vazão) em Aruanã, código 25200000?

Resp: A maior cota registrada com medição de vazão em Ponte Meia Ponte é 671 cm e a respectiva vazão é 4271 m³/s (10/02/1982).

Com os parâmetros da distribuição de Log-Normal a partir da equação 2 se obtém $Z_{(1-1/T)}$ e por consequência $P(Z \le z)$.

Por fim, como no primeiro exemplo, temos que o tempo de retorno da vazão associada à cota de 671 cm é de 2,01 anos. A probabilidade da vazão associada a essa cota ser igualada ou superada em um ano qualquer é de 49,7%.

c) Qual a vazão com tempo de retorno de 100 anos em Aruanã, código 25200000?

Resp: Considerando os parâmetros de posição e de escala da curva de distribuição obtida no estudo (Log-Normal), calcula-se a inversa da distribuição Normal Padrão para T=100 anos (INV.NORMP do Excel), obtendo-se $Z_{(1-1/T=0.99)}=2,32635$.

Aplicando a equação (1) obtém-se a vazão de 10456 m³/s:

$$x_T = EXP(8,357 + 0,386.2,32635) = 10456 \, m^3/s$$

O tempo de retorno de 100 anos corresponde à probabilidade de 1,0% da vazão 10456 m³/s ser igualada ou superada em um ano qualquer, ou:

$$P(x_T \ge 10456 \, m^3/s) = \frac{1}{T} 100 = \frac{1}{100} 100 = 1 \,\%$$

REFERÊNCIAS

- AGÊNCIA NACIONAL DE ÁGUAS (Brasil); SERVIÇO GEOLÓGICO DO BRASIL. Levantamentos topobatimétricos e geodésicos aplicados na Rede Hidrometeorológica Nacional (RHN). Brasília, DF: ANA: CPRM, 2021. Disponível em: https://rigeo.sgb.gov.br/handle/doc/22628 . Acesso em: 13 out. 2025.
- HOSKING, J. R. M.; WALLIS, J. R. **Regional frequency analysis**: an approach based on L-moments. Cambridge: Cambridge University Press, 1997. ISBN: 9780511529443. DOI: https://doi.org/10.1017/CBO9780511529443.
- KENNEY, T. A. **Levels at gaging stations**: section A, Surface-Water Techniques. [*S.l.*]: U.S. Geological Survey, 2010. cap. 3., 60 p. (Techniques and Methods 3 A19). Disponível em: https://pubs.usgs.gov/tm/tm3A19/tm3A19.pdf. Acesso em: 13 out. 2025.
- MANN, H. B.; WHITNEY, D. R. On the test of whether one of two random variables is stochastically larger than the other. **Annals of Mathematical Statistics**, v. 18, n. 1, p. 50-60, 1947. DOI: https://doi.org/10.1214/aoms/1177730491.
- MARANHÃO, N.; PEREIRA, S. P. (coord.). **Rede Hidrometeorológica Nacional de Referência RHNR**: relato do planejamento da RHNR e a definição das estratégias de implementação para os próximos anos (5 anos). [Brasília]: [CPRM: ANA], 2017. Grupo de Trabalho ANA-CPRM. Portaria ANA n. 151, de 31 de março de 2016. Disponível em: https://rigeo.sgb.gov.br/handle/doc/22172. Acesso em: 13 out. 2025.
- NAGHETTINI, M.; PINTO, E. J. A. **Hidrologia estatística**. Belo Horizonte: CPRM, 2007. Disponível em: https://rigeo.sgb.gov.br/handle/doc/454. Acesso em: 13 out. 2025.
- PINTO, E. J. de A. **Atlas pluviométrico do Brasil**: metodologia para definição das equações intensidade-duração-frequência do Projeto Atlas Pluviométrico. Belo Horizonte: CPRM, 2013. Programa Geologia do Brasil. Levantamento da Geodiversidade. Disponível em: https://rigeo.sgb.gov.br/handle/doc/11560. Acesso em: 13 out. 2025.
- RANTZ, S. E. *et al.* **Measurement and computation of streamflow**: volume 2. Computation of discharge. Washington: USGS, 1982. v. 2, 631 p. (Geological Survey Water-Supply Paper 2175). Disponível em: https://pubs.usgs.gov/wsp/wsp2175/wsp2175_vol2.pdf. Acesso em: 13 out. 2025.
- SAUER, V. B.; TURNIPSEED, D. P. **Stage measurement at gaging stations**. Reston, Virginia: U.S. Geological Survey, 2010. cap. 3, 45 p. (Techniques and Methods 3–A7). Disponível em: https://pubs.usgs.gov/tm/tm3-a7/tm3a7.pdf. Acesso em: 13 out. 2025.
- TUCCI, C. E. M. **Regionalização de vazões**. Brasília: ABRH, 2002. 256 p. ISBN 978-8588686403.

WALD, A.; WOLFOWITZ, J. An exact test for randomness in the non-parametric case based on serial correlation. **Annals of Mathematical Statistics**, v. 14, n. 4, p. 378-388, 1943. DOI: 10.1214/aoms/1177731358. Disponível em: https://projecteuclid.org/journals/annals-of-mathematical-statistics/volume-14/issue-4/An-Exact-Test-for-Randomness-in-the-Non-Parametric-Case/10.1214/aoms/1177731358.short. Acesso em: 13 out. 2025.

WORLD METEOROLOGICAL ORGANIZATION. **Manual on stream gauging**. Geneva: WMO, 2010. v. 1. (Fieldwork WMO-No. 1044). Disponível em: https://library.wmo.int/idurl/4/35848. Acesso em: 13 out. 2025.

ANEXO I Ficha Descritiva da Estação Fluviométrica Aruanã Código 25200000



FICHA DESCRITIVA DE ESTAÇÃO FLUVIOMÉTRICA



AGÉNCIA NACIONAL DE ÁGUAS

10.00	12000	40.00	100	TO SHOULD SHOW
Id	en	TITL	Ca	ção
14	CI.	CHI	CC	VUO

Código: 25200000 Estação: ARUANÃ Tipo: FDSQT Região hidrográfica: Rio Tocantins Sub-bacia: 25

Rio: RIO ARAGUAIA Bacia local: do Tocantins-

Município: Aruanā Estado: GO Roteiro: 97
Latitude: -14.9122 Longitude: -51.0822 Altitude (m): 277

Instrumento: GPS GARMIN 45 - Datum: WGS 84

Área de dren. (km²): 76984 Instalada em: 14/10/1969 Extinta em:

Coordenador: ANA Operador: CPRM/GO Código da folha: 2001 Nome da folha: ARUANÃ

Orgão executor: IBGE Ano: 1980 Escala: 1:100.000

Localização

NA MARGEM DIREITA DO RIO ARAGUAIA, 150 m A JUSANTE DO HOTEL RECANTO SONHADO, JUSANTE DA BARRA DO RIO VERMELHO.

Acessibilidade

PELA GO-164, SAINDO DE GOIÁS RUMO À ARAGUAPAZ, DEPOIS PELA BR-251 ATÉ ARUANĂ. HOTEL SESI ARUANÃ: (62) 3216-0449 / (62) 3376-1231

Seção de réguas

Margem: Margem direita

Réguas:

9 LANCES DE RÉGUAS DE ALUMÍNIO ANODIZADO FIXADAS EM ESTACAS-SUPORTE.

00/100 -- 100/200 -- 200/300 -- 300/400 -- 400/500 -- 500/600 -- 600/700 -- 700/800 -- 800/900 -- 900/1000

Referências de nível

07: 10.192 mm --- 08: 8.362 mm --- 09: 10.229 mm -- 10: 9.854 mm --- 11: 9.752 mm

Seções e processos de medição

SEÇÃO MEDIDORA: 4,0 mts A JUSANTE DAS RÉGUAS.

PROCESSOS DE MEDIÇÃO DE DESCARGA: MEDIÇÃO COM ADCP E OU MEDIÇÃO A DOIS PONTOS COM MOLINETE, DE BARCO, PRESO A CABO DE AÇO OU MEDIÇÃO A VAU COM FLOW TRECKER.

Observações

Objetivo da estação na RHNR: OB2-Eventos Hidrológicos Críticos

JOGADOR DE ANCORA: SAMON FERREIRA ATRAUBE.

CI: 135.0196-8- SSP-MT CPF: 007.391.411-80

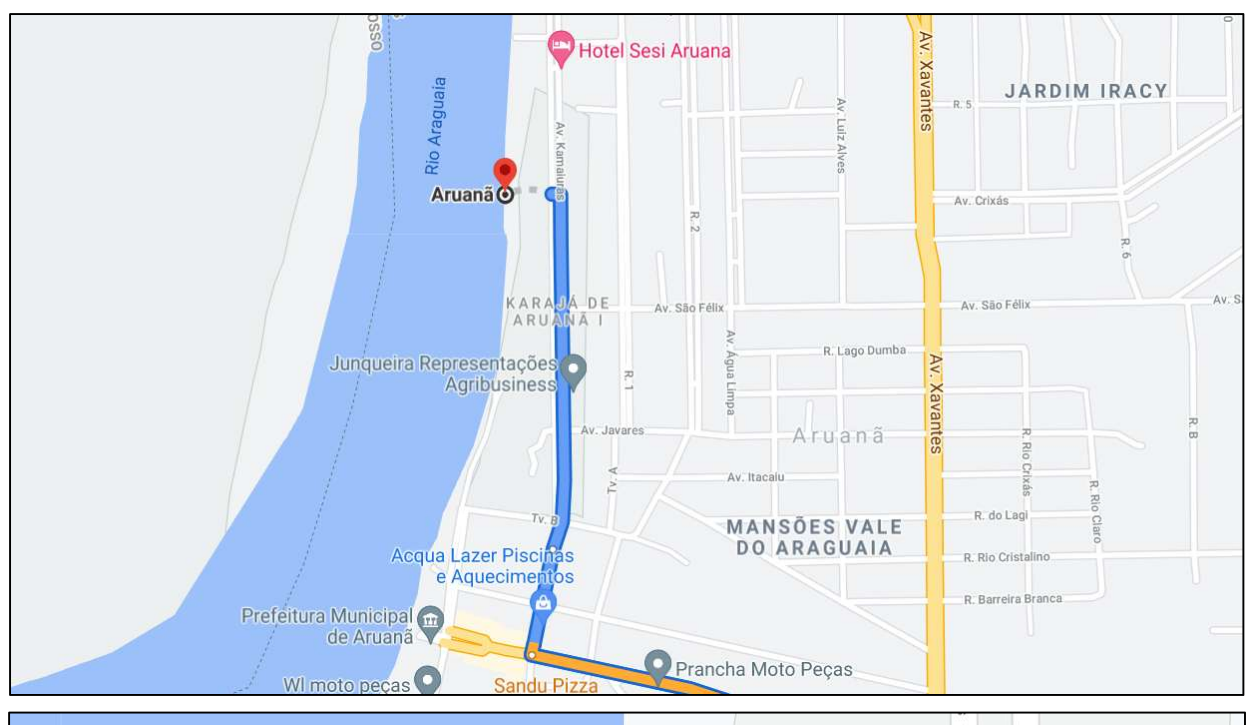
END: RUA 10 QD. 05, LT. 06, NOVA ARUANÃ

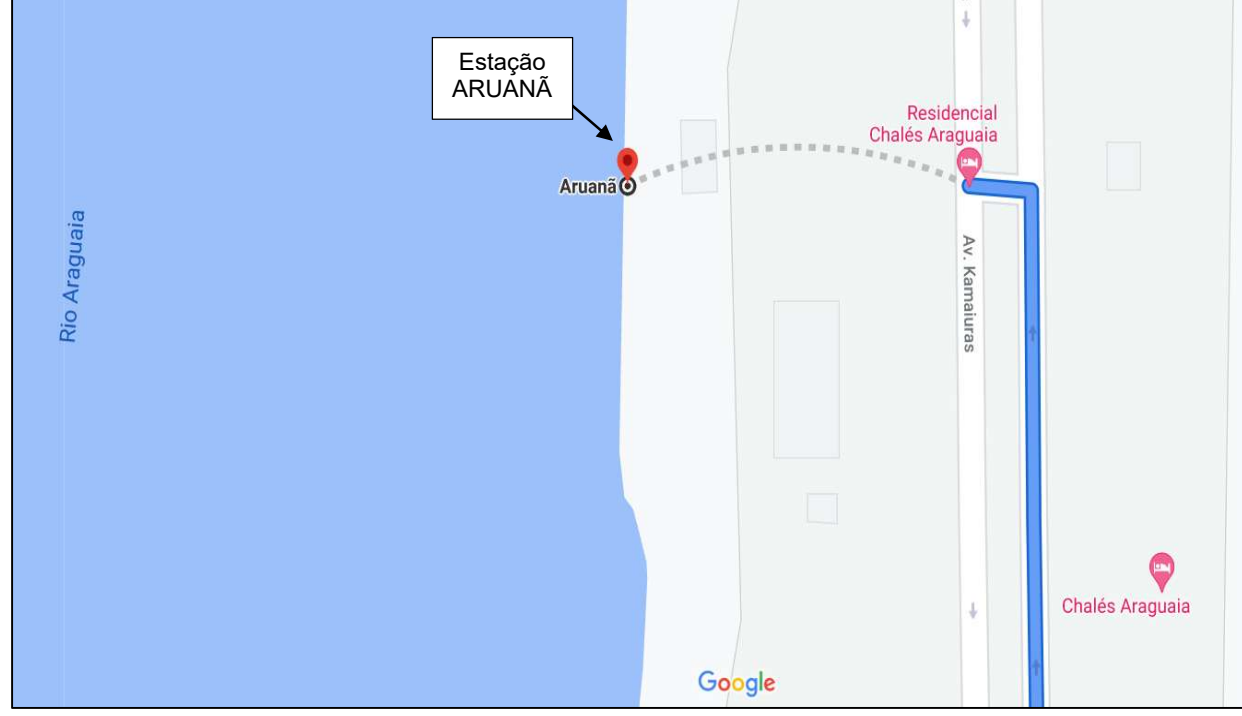
Equipamentos

PCD HOBECO QML 201C

nº serie: 120433 HBS; nº ANA: 018.406; nº CPRM: não identificado Leitura do nível de água é feita por sensor de pressão. Pluviômetro TB4

ID: B5645168





ANEXO II Distribuições de Gumbel e Log-Normal

DISTRIBUIÇÃO DE GUMBEL

• Função Densidade de Probabilidade

$$f_X(x) = \frac{1}{\alpha} \exp \left[-\frac{x-\beta}{\alpha} - \exp \left(-\frac{x-\beta}{\alpha} \right) \right]$$

 α = Parâmetro de escala β = Parâmetro de posição

Limites: -∞ ≤ x < ∞

• Função Acumulada de Probabilidades

$$F_X(x) = \exp\left[-\exp\left(-\frac{x-\beta}{\alpha}\right)\right]$$

• Inversa da função acumulada

$$x = \beta - \alpha \ln[-\ln(F(x))]$$

Momentos L

$$\lambda_1 = \beta + \alpha \gamma_E$$
 $\lambda_2 = \alpha \ln(2)$ $\lambda_3 = \alpha [2 \ln(3) - 3 \ln(2)]$ $\lambda_4 = \alpha [5 \ln(4) - 10 \ln(3) + 6 \ln(2)]$ $\tau_3 = 0.1699$ $\tau_4 = 0.1504$

Estimativa dos parâmetros pelos momentos-L

$$\hat{\alpha} = \frac{l_2}{\ln(2)} \qquad \hat{\beta} = \frac{l_1}{\gamma_E \alpha}$$

Onde l_1 e l_2 são os momentos-L amostrais e γ_E = 0,5572157 é a constante de Euler. Fonte: Hosking e Wallis (1997)

DISTRIBUIÇÃO LOG-NORMAL

Os dados transformados pelo logaritmo natural, Ln(x), se distribuem como uma normal

DISTRIBUIÇÃO NORMAL

• Função Densidade de Probabilidade

$$f_X(x) = \frac{1}{\sigma} \phi \left(\frac{x - \mu}{\sigma} \right)$$

$$\phi(x) = \frac{1}{\sqrt{2\pi}} exp\left(-\frac{1}{2}x^2\right)$$

Parâmetros: μ é o parâmetro de posição e σ é o parâmetro de escala

Limites: -∞ ≤ x < ∞

Função Acumulada de Probabilidades

$$F_X(x) = \Phi\left(\frac{x-\mu}{\sigma}\right)$$

$$\Phi(x) = \int_{-\infty}^{x} \phi(t)dt$$

Inversa da função acumulada

x(F) não possui forma analítica

Momentos-L

$$\lambda_1 = \mu$$
 $\lambda_2 = 0.5642\sigma = \frac{1}{\sqrt{\pi}}\sigma$ $\tau_3 = 0$ $\tau_4 = 0.1226 = \left[30\pi^{-1}arctan(\sqrt{2})\right] - 9$

• Estimativa de parâmetros pelos momentos-L

$$\hat{\mu} = \lambda_1 \qquad \qquad \hat{\sigma} = \lambda_2 \sqrt{\pi}$$

OBS: Inicialmente os dados são transformados pelo logaritmo natural, Ln(x). Em seguida são calculados os momentos-L e depois os parâmetros. Fonte: Hosking e Wallis (1997).

ANEXO III

Série de Dados Utilizados

Cotas e Vazões máximas por ano hidrológico

Curva-Chave

Estatísticas da série

Série de Dados Utilizados – Cotas (cm) e Vazões (m³/s) Máximos por ano hidrológico (01/Out a 30/Set)

N	Al	AF	Data	Hora	Cota (cm)	Vazão (m³/s)	Observações
1	1970	1971	13/03/1971	07:00	340	1404	DL / Vazões geradas a partir da curva-chave
2	1971	1972	21/02/1972	17:00	500	2618	DL / Vazões geradas a partir da curva-chave
3	1972	1973	31/12/1972	17:00	576	3316	DL / Vazões geradas a partir da curva-chave
4	1973	1974	24/03/1974	07:00	786	5293	DL / Vazões geradas a partir da curva-chave
5	1974	1975	07/04/1975	17:00	511	2473	DL / Vazões geradas a partir da curva-chave
6	1975	1976	25/02/1976		687	4211	CM / Vazões geradas a partir da curva-chave
7	1976	1977	08/02/1977		1033	8510	CM / Vazões geradas a partir da curva-chave
8	1977	1978	21/01/1978		732	4707	CM / Vazões geradas a partir da curva-chave
9	1978	1979	18/01/1979	07:00	712	4705	DL / Vazões geradas a partir da curva-chave
10	1979	1980	17/02/1980		1019	8425	CM / Vazões geradas a partir da curva-chave
11	1980	1981	03/04/1981		781	5474	CM / Vazões geradas a partir da curva-chave
12	1981	1982	14/03/1982	07:00	741	5012	DL / Vazões geradas a partir da curva-chave
13	1982	1983	17/02/1983	07:00	902	6881	DL / Vazões geradas a partir da curva-chave
14	1983	1984	19/12/1983	07:00	672	4289	DL / Vazões geradas a partir da curva-chave
15	1984	1985	03/02/1985	07:00	798	5658	DL / Vazões geradas a partir da curva-chave
16	1985	1986	23/02/1986	07:00	554	3015	DL / Vazões geradas a partir da curva-chave
17	1986	1987	30/12/1986	17:00	556	3099	DL / Vazões geradas a partir da curva-chave
18	1987	1988	17/03/1988	17:00	754	5146	DL / Vazões geradas a partir da curva-chave
19	1988	1989	17/02/1989	07:00	621	3757	DL / Vazões geradas a partir da curva-chave
20	1989	1990	10/01/1990		671	4269	CM / Vazões geradas a partir da curva-chave
21	1990	1991	02/04/1991		795	5635	CM / Vazões geradas a partir da curva-chave
22	1991	1992	29/01/1992	17:00	676	4310	DL / Vazões geradas a partir da curva-chave
23	1992	1993	13/01/1993	17:00	1119	9794	DL / Vazões geradas a partir da curva-chave
24	1993	1994	13/01/1994		765	5292	CM / Vazões geradas a partir da curva-chave
25	1994	1995	12/02/1995	07:00	649	4030	DL / Vazões geradas a partir da curva-chave
26	1995	1996	07/01/1996	17:00	555	3099	DL / Vazões geradas a partir da curva-chave
27	1996	1997	01/02/1997		955	7588	CM / Vazões geradas a partir da curva-chave
28	1997	1998	06/12/1997		608	3627	CM / Vazões geradas a partir da curva-chave
29	1998	1999	09/03/1999		789	5433	CM / Vazões geradas a partir da curva-chave
30	1999	2000	17/02/2000	17:00	715	4588	DL / Vazões geradas a partir da curva-chave
31	2000	2001	22/12/2000	17:00	607	3464	DL / Vazões geradas a partir da curva-chave
32	2001	2002	17/01/2002	17:00	736	4819	DL / Vazões geradas a partir da curva-chave
33	2002	2003	04/02/2003	07:00	596	3270	DL / Vazões geradas a partir da curva-chave
34	2003	2004	28/02/2004		991	7931	CM / Vazões geradas a partir da curva-chave
35	2004	2005	30/03/2005		773	5176	CM / Vazões geradas a partir da curva-chave
36	2005	2006	10/04/2006		725	4628	CM / Vazões geradas a partir da curva-chave
37	2006	2007	16/02/2007		970	7648	CM / Vazões geradas a partir da curva-chave

(Continuação)

N	Al	AF	Data	Hora	Cota (cm)	Vazão (m³/s)	Observações
38	2007	2008	01/02/2008		816	5686	CM / Vazões geradas a partir da curva-chave
39	2008	2009	01/04/2009		756	4809	CM / Vazões geradas a partir da curva-chave
40	2009	2010	10/12/2009		964	7438	CM / Vazões geradas a partir da curva-chave
41	2010	2011	15/03/2011	07:00	701	4182	DL / Vazões geradas a partir da curva-chave
42	2011	2012	19/01/2012	07:00	610	3212	DL / Vazões geradas a partir da curva-chave
43	2012	2013	28/01/2013		815	5515	CM / Vazões geradas a partir da curva-chave
44	2013	2014	26/02/2014	17:00	566	2703	DL / Vazões geradas a partir da curva-chave
45	2014	2015	26/03/2015	07:00	624	3265	DL / Vazões geradas a partir da curva-chave
46	2015	2016	24/01/2016	17:00	637	3396	DL / Vazões geradas a partir da curva-chave
47	2016	2017	18/02/2017	07:00	576	2797	DL / Vazões geradas a partir da curva-chave
48	2017	2018	09/02/2018	17:00	547	2518	DL / Vazões geradas a partir da curva-chave
49	2018	2019	08/03/2019	07:00	620	3225	DL / Vazões geradas a partir da curva-chave
50	2019	2020	16/02/2020	07:00	665	3674	DL / Vazões geradas a partir da curva-chave
51	2020	2021	11/03/2021	07:00	604	3096	DL / Vazões geradas a partir da curva-chave
52	2021	2022	17/01/2022	17:00	696	3990	DL / Vazões geradas a partir da curva-chave
53	2022	2023	14/01/2023	07:00	594	2919	DL / Vazões geradas a partir da curva-chave
54	2023	2024	31/03/2024	07:00	528	2222	DL / Vazões geradas a partir da curva-chave

DL – Dupla Leitura (07 e 17 hs) CM – Sem dados de boletim de Dupla Leitura (DL). Registro DL na estatística máxima do banco de Cotas Médias.

Curva-Chave

As vazões da série histórica foram calculadas com a equação da curva-chave de formato potencial:

$$Q(h) = a (h - ho)^n$$
(AIII-01)

Onde:

h é a cota a qual se quer calcular a vazão (m);

Q(h) é a vazão calculada para a cota h (m³/s);

a, n e ho são parâmetros de ajustes.

Os parâmetros das curvas-chaves utilizadas no estudo são os seguintes:

Curva-Chave	Período	01/11/1969 22/06/1973	23/06/1973 26/01/1978	27/01/1978 20/03/1998	21/03/1998 29/05/2000
	Amplitude	50	80	90	110
	de cotas (cm)	218	248	401	403
1	а	174,7974	174,7974	209	166,5
	ho (m)	-0,48	-0,18	-0,15	-0,21
	n	1,488	1,488	1,51	1,6
	Amplitude	218	248	401	403
	de cotas (cm)	401	432	1300	800
2	а	209	209	245	244,5
	ho (m)	-0,15	-0,15	0,39	0,59
	n	1,51	1,51	1,550	1,560
	Amplitude	401	432		
	de cotas (cm)	600	1040		
3	а	245	245		
	ho (m)	0,39	0,75		
	n	1,550	1,570		

Curva-Chave	Período	30/05/2000 19/03/2002	20/03/2002 19/01/2009	20/01/2009 14/12/2013
	Amplitudo			
	Amplitude de cotas	90	110	120
	(cm)	456	230	246
1 1	а	164,8789	166,5	174,7974
	ho (m)	-0,26	-0,2	-0,06
	n	1,618	1,488	1,488
	Amplitude	456	230	246
	de cotas (cm)	750	416	519
2	а	244,5	208	209
	ho (m)	0,59	0,17	0,25
	n	1,560	1,51	1,51
	Amplitude		416	519
	de cotas (cm)		1100	1000
3	а		245	296
	ho (m)		0,75	1,3
	n		1,570	1,520

-				
Curva-Chave	Período	15/12/2013	08/12/2018	17/01/2022
Cui va-Chave	1 eriodo	07/12/2018	16/01/2022	31/12/2025
	Amplitude	40	40	40
	de cotas (cm)	436	372	165
1	а	136	101,4	101,39
	ho (m)	-0,06	-0,15	-0,3
	n	1,655	1,78	1,72
	Amplitude	436	372	165
	de cotas (cm)	1150	1150	403
2	а	245	245	118,338
	ho (m)	1,09	1,09	-0,16
	n	1,58	1,58	1,675
	Amplitude			403
_	de cotas (cm)			1000
3	а			101,448
	ho (m)			0,19
	n	·		1,898

Estatísticas da série

Estatísticas da Série

Média m³/s	Desvio- Padrão m³/s	Máximo m³/s	Mínimo m³/s	Amplitude m³/s	Assimetria	Mediana m³/s	1º Quartil m³/s	3° Quartil m³/s	AIQ m³/s
4578,5	1791,9	9794,0	1404,0	8390,0	0,9	4279	3235	5398	2163

Estatísticas da série transformada: Ln(X)

Média	Desvio- Padrão	Máximo	Mínimo	Amplitude	Assimetria	Mediana	1º Quartil	3° Quartil	AIQ
8,35703	0,38531	9,18952	7,24708	1,94244	-0,08560	8,36147	8,08176	8,59372	0,51195

Momentos-L e Razões-L

l_1	l_2	L-CV	L-SKEW	L-KURT
4578,5372	984,2071	0,2150	0,1976	0,1443

Momentos-L e Razões-L da série transformada: Ln(X)

l_1	l_2	L-CV	L-SKEW	L-KURT
8,4291	6,8918	-1,5373	-1,6214	-1,9356

Função Acumulada de Probabilidade da Log-Normal para Máximos (μ e σ são parâmetros da distribuição Log-Normal)

$$F_X(x) = \Phi\left(\frac{x-\mu}{\sigma}\right)$$
, onde $\Phi(x) = \int_{-\infty}^x \phi(t)dt$

Inversa da distribuição Log-Normal: x(F) não possui forma analítica

Parâmetros da Distribuição Log-Normal Fonte: Hosking e Wallis (1997), págs. 193 e 194

 $Momentos-L: \ \lambda_1=\mu \qquad \lambda_2=0.5642 \ \ \sigma=\frac{1}{\sqrt{\pi}}\sigma \qquad Parâmetros: \ \hat{\mu}=\lambda_1 \ \ e \qquad \hat{\sigma}=\lambda_2\sqrt{\pi}$

35

Distribuição	Posição (μ)	Escala (σ)	
Log-Normal (μ, σ)	8.357	0.386	



Projeto de regionalização de vazões nas bacias hidrográficas brasileiras

ENDEREÇOS

Sede

SGAN- Quadra 603 – Conjunto J – Parte A – 1º andar Brasília – DF – CEP: 70.830-030

Tel: (61) 2192-8252 Fax: (61) 3224-1616

Escritório Rio de Janeiro

Av Pasteur, 404 – Urca Rio de Janeiro – RJ – CEP: 22.290-255

Tel: (21) 2295-5337 - (21) 2295-5382

Fax: 21 2542-3647

Superintendência Regional de Goiânia

Rua 148, 485 – Setor Marista

Goiânia – GO – CEP: 74170-110

Tel.: (62) 3240-1401 / (62) 3240-1402

Superintendência Regional de Belo Horizonte

Av. Brasil, 1.731 – Funcionários Belo Horizonte – MG –

CEP: 30.140-002 Tel.: (31) 3878-0376 Fax: (31) 3878-0383





